

بِسْمِ اللَّهِ الرَّحْمَنِ الرَّحِيمِ



وزارت علوم تحقیقات و فناوری
دانشگاه شهید مدنی آذربایجان
دانشکده علوم پایه
گروه زیست شناسی

پایان نامه مقطع کارشناسی ارشد

رشته زیست شناسی گرایش سلولی مولکولی

شبیه سازی نحوه تشکیل نانوپورها توسط پپتیدهای ضد میکروبی و ضد سرطان در غشاهای

اساتید راهنما:

دکتر نادر چاپارزاده

دکتر فرامرز مهرنژاد

استاد مشاور:

دکتر علیرضا راستکار ابراهیم زاده

پژوهشگر:

راحله اقدمی

بهمن ۱۳۹۲

تبریز/ایران

فهرست مطالب

عنوان.....	صفحه.....
چکیده.....	یک.....
فصل اول: مقدمه	
۱-۱- پیتید های ضد میکروبی.....	۳.....
۱-۱-۱- مکانیسم عمل پیتید های ضد میکروبی.....	۳.....
۱-۲-۱- منشا انتخابیت سلولی توسط پیتید های ضد میکروبی.....	۶.....
۱-۳-۱- تفاوت غشاهای پروکاریوتی و یوکاریوتی.....	۶.....
۱-۴-۱- پتانسیل آنتی بیوتیکی پیتید های ضد میکروبی.....	۷.....
۱-۵-۱- پتانسیل پیتیدهای ضد میکروبی در درمان سرطان.....	۸.....
۱-۲- پیتید ضد میکروبی طبیعی پارداکسین.....	۸.....
۱-۲-۱- ویژگی های پیتید پارداکسین.....	۹.....
۱-۲-۱-۱- توالی.....	۹.....
۱-۲-۱-۲- ویژگی دوگانه دوستی.....	۱۰.....
۱-۲-۲- ساختار دوم پیتید پارداکسین.....	۱۱.....
۱-۲-۲-۱- ساختار دوم پیتید پارداکسین در محیط آبی.....	۱۱.....
۱-۲-۲-۲- ساختار دوم پیتید پارداکسین در محیط غشایی.....	۱۱.....
۱-۲-۳- جهت گیری پیتید پارداکسین نسبت به غشاهای فسفولیپیدی.....	۱۲.....
۱-۲-۴- قابلیت های پیتید پارداکسین.....	۱۳.....
۱-۴-۲-۱- فعالیت ضد سرطانی پارداکسین.....	۱۴.....
۱-۴-۲-۱-۱- القا آپوپتوز در سلول های فیوسارکوما توسط پارداکسین.....	۱۵.....
۱-۲-۵- برهمکنش پیتید پارداکسین با غشا.....	۱۶.....
۱-۲-۶- مکانیسم عمل فعالیت ضد میکروبی.....	۱۷.....
۱-۳- مطالعات نظری.....	۱۸.....
۱-۳-۱- شبیه سازی پیتید های غشایی.....	۱۸.....
۱-۳-۲- شبیه سازی فسفولیپید ها.....	۱۹.....
۱-۴- میدان نیرو.....	۲۰.....
۱-۴-۱- مدل دانه درشت.....	۲۱.....
۱-۴-۲- دلایل سرعت بالای دانه درشت.....	۲۲.....
۱-۴-۳- مدل های پروتئینی دانه درشت.....	۲۳.....
۱-۴-۴- دینامیک ها در شبیه سازی های دانه درشت.....	۲۴.....

۵-۱- غشا های سلولی مدل..... ۲۵

فصل دوم: روش ها

۱-۲- مقدمه ای بر شبیه سازی های کامپیوتری..... ۲۸

۲-۲- طراحی شبیه سازی..... ۳۱

۱-۲-۲- انتخاب و دستیابی به ساختار اولیه..... ۳۱

۱-۱-۲-۲- ساختار اولیه پتید..... ۳۱

۲-۱-۲-۲- ساختار اولیه دولایه های لیپیدی..... ۳۲

۲-۲-۲- آماده سازی فایل اولیه ی شبیه سازی..... ۳۲

۱-۲-۲-۲- آماده سازی پتید..... ۳۲

۲-۲-۲-۲- آماده سازی غشا..... ۳۲

۳-۲-۲-۲- آماده سازی سیستم ترکیبی پتید- غشا..... ۳۳

۳-۲-۲- افزودن یون و خشتی سازی سیستم..... ۳۴

۴-۲-۲- کمینه سازی انرژی..... ۳۴

۵-۲-۲- متعادل کردن محدودیت مکانی سیستم شبیه سازی..... ۳۴

۱-۵-۲-۲- هنگرد NVT..... ۳۵

۲-۵-۲-۲- هنگرد NPT..... ۳۵

۶-۲-۲- اجرای شبیه سازی دینامیک مولکولی..... ۳۵

۳-۲- روشهای تجزیه و تحلیل داده ها..... ۴۷

۱-۳-۲- جذر میانگین مربع تغییرات در ساختار..... ۴۷

۲-۳-۲- جذر میانگین مربع نوسانات در ساختار..... ۴۷

۳-۳-۲- بررسی ساختار مارپیچی..... ۴۸

۴-۳-۲- پیوند هیدروژنی..... ۴۸

۵-۳-۲- نظم زنجیره های هیدروکربنی غشا (order)..... ۴۹

۶-۳-۲- تابع توزیع شعاعی (RDF)..... ۴۹

فصل سوم: نتایج

۱-۳- نتایج بخش اول..... ۵۱

۱-۱-۳- دینامیک و ساختار..... ۵۲

۲-۱-۳- پیوند هیدروژنی..... ۵۸

۳-۱-۳- ورود پتید پارداکسین به درون غشا..... ۶۰

۱-۳-۱-۳- فاصله بین چارچوب پتید پارداکسین و گروه های سر فسفولیپیدی..... ۶۰

۲-۳-۱-۳- چگالی..... ۶۲

۴-۱-۳- تاثیر پارداکسین بر روی ساختار غشا..... ۶۳

۶۳۱-۴-۱-۳- نظم زنجیره های هیدروکربنی غشا (order)
۶۴۲-۳- نتایج بخش دوم
۶۴۱-۲-۳- دینامیک و ساختار
۷۰۲-۲-۳- پیوند هیدروژنی
۷۲۳-۲-۳- ورود پتید پارداکسین به درون غشا
۷۲۱-۳-۲-۳- فاصله بین چارچوب پتید پارداکسین و گروه های سر فسفولیپیدی
۷۴۲-۳-۲-۳- چگالی
۷۵۴-۲-۳- تاثیر پارداکسین بر روی ساختار غشا
۷۵۱-۴-۲-۳- نظم زنجیره های هیدروکربنی غشا (order)
۷۷۳-۳- نتایج بخش سوم
۷۷۱-۳-۳- ورود پتید پارداکسین به درون غشا
۷۷۱-۱-۳-۳- فاصله بین چارچوب پتید پارداکسین و گروه های سر فسفولیپیدی
۷۹۲-۱-۳-۳- چگالی

فصل چهارم: تفسیر و پیشنهادات

۸۳۱-۴- تفسیر
۸۳۱-۱-۴- تفسیر نتایج بخش های اول و دوم
۸۶۲-۱-۴- تفسیر نتایج بخش سوم
۸۷۲-۴- پیشنهادات
۸۸منابع

چکیده (انگلیسی)

فهرست شکل ها

عنوان.....	صفحه.....
شکل ۱-۱ مدل های تخریب غشا با AMPs.....	۵.....
شکل ۲-۱ توزیع باقیمانده های پپتید پارداکسین بوسیله ی چرخ ماریچ.....	۹.....
شکل ۳-۱ ساختار پارداکسین نشان دهنده ی رزیدوهای آگریز (ارغوانی) و رزیدوهای آبدوست (سبز).....	۱۰.....
شکل ۴-۱ ساختار پپتید پارداکسین در محلول های میسلی DPC.....	۱۲.....
شکل ۵-۱ جهت گیری پپتید پارداکسین نسبت به غشاهای مختلف.....	۱۳.....
شکل ۶-۱ طرح شماتیک آشبار پیام رسانی بیان ژن مربوط به آپوتوز، القا شده توسط پارداکسین.....	۱۶.....
شکل ۷-۱ سطوح متفاوتی از مدل سازی.....	۲۱.....
شکل ۸-۱ مدل های دانه درشت ۲۰ آمینواسید پروتئین.....	۲۴.....
شکل ۱-۲ تصویری از سیستم ترکیبی پپتید- لیپید POPC با حذف مولکول های آب پس از مرحله ی آماده سازی.....	۴۴.....
شکل ۲-۲ تصویر جانبی از سیستم ترکیبی پپتید- لیپید DPPC و DMPC با حذف مولکول های آب پس از مرحله ی آماده سازی.....	۴۵.....
شکل ۳-۲ تصویر جانبی از سیستم ترکیبی پپتید- لیپید DPPC با حذف مولکول های آب پس از مرحله ی آماده سازی با استفاده از شبیه سازی دانه درشت.....	۴۶.....
شکل ۴-۲ معیارهای ژئومتری.....	۴۸.....
شکل ۱-۳ جذر میانگین مربع انحرافات (RMSD).....	۵۴.....
شکل ۲-۳ جذر میانگین مربع نوسانات (RMSF).....	۵۵.....
شکل ۳-۳- پروفایل ساختار دوم پپتید های پارداکسین در غشای DMPC در طول زمان شبیه سازی.....	۵۶.....
شکل ۴-۳ پروفایل ساختار دوم پپتید های پارداکسین در غشای POPC در طول زمان شبیه سازی.....	۵۷.....
شکل ۵-۳ تعداد پیوندهای هیدروژنی بین پپتید- پپتید، پپتید- آب و پپتید- لیپید در طول زمان شبیه سازی برای هر دو سیستم DMPC.....	۵۹.....
شکل ۶-۳ تعداد پیوندهای هیدروژنی بین پپتید- پپتید، پپتید- آب و پپتید- لیپید در طول زمان شبیه سازی برای هر دو سیستم POPC.....	۶۰.....
شکل ۷-۳ فاصله بین مرکز جرم چارچوب پپتید پارداکسین با مرکز جرم اتم های فسفر گروه های سرفسفولیپیدی در طول زمان شبیه سازی.....	۶۱.....
شکل ۸-۳ دانسیته ی اجزای مختلف درون جعبه ی شبیه سازی.....	۶۲.....
شکل ۹-۳ پارامتر نظم زنجیره های هیدروکربنی دولایه ی لیپیدی در سیستم های دولایه های لیپیدی خالص DMPC و POPC و همچنین دولایه های لیپیدی DMPC و POPC در حضور پپتید.....	۶۳.....
شکل ۱۰-۳ جذر میانگین مربع انحرافات (RMSD).....	۶۶.....
شکل ۱۱-۳ جذر میانگین مربع نوسانات (RMSF).....	۶۷.....
شکل ۱۲-۳ پروفایل ساختار دوم پپتید های پارداکسین در غشای DPPC در طول زمان شبیه سازی.....	۶۸.....

- شکل ۳-۱۳ پروفایل ساختار دوم پپتید های پارداکسین در غشای POPC در طول زمان شبیه سازی.....۶۹
- شکل ۳-۱۴ تعداد پیوندهای هیدروژنی بین پپتید - پپتید، پپتید - آب و پپتید - لیپید در طول زمان شبیه سازی برای هر دو سیستم DPPC.....۷۱
- شکل ۳-۱۵ تعداد پیوندهای هیدروژنی بین پپتید - پپتید، پپتید - آب و پپتید - لیپید در طول زمان شبیه سازی برای هر دو سیستم POPC.....۷۲
- شکل ۳-۱۶ فاصله بین مرکز جرم چارچوب پپتید پارداکسین با مرکز جرم اتم های فسفر گروه های سر فسفولیپیدی در طول زمان شبیه سازی.....۷۳
- شکل ۳-۱۷ دانسیته ی اجزای مختلف درون جعبه ی شبیه سازی.....۷۴
- شکل ۳-۱۸ پارامتر نظم زنجیره های هیدروکربنی دولایه ی لیپیدی در سیستم های دولایه های لیپیدی خالص DPPC و POPC و همچنین دولایه های لیپیدی DPPC و POPC در حضور پپتید.....۷۶
- شکل ۳-۱۹ فاصله بین مرکز جرم چارچوب پپتید پارداکسین با مرکز جرم اتم های فسفر گروه های سر فسفولیپیدی در طول زمان شبیه سازی.....۷۹
- شکل ۳-۲۰ دانسیته ی اجزای مختلف درون جعبه ی شبیه سازی.....۸۰
- شکل ۳-۲۱ تصویری از منفذ ایجاد شده از سیستم ترکیبی پپتید- لیپید DPPC با شبیه سازی دانه درشت.....۸۱

فهرست جدول ها

عنوان.....	صفحه.....
جدول ۱-۲ فایل em.mdp مورد نیاز برای مرحله ی کمینه سازی.....	۳۶.....
جدول ۲-۲ فایل nvt.mdp مورد نیاز برای فاز اول متعادل سازی.....	۳۷.....
جدول ۳-۲ فایل npt.mdp مورد نیاز برای فاز دوم متعادل سازی.....	۳۸.....
جدول ۴-۲ فایل md.mdp مورد نیاز برای اجرای شبیه سازی AA-MD.....	۳۹.....
جدول ۵-۲ فایل em.mdp مورد نیاز برای مرحله ی کمینه سازی.....	۴۰.....
جدول ۶-۲ فایل nvt.mdp مورد نیاز برای مرحله ی اول متعادل سازی.....	۴۱.....
جدول ۷-۲ فایل npt.mdp مورد نیاز برای مرحله ی دوم متعادل سازی.....	۴۲.....
جدول ۸-۲ فایل md.mdp مورد نیاز برای اجرای شبیه سازی CG-MD.....	۴۳.....

چکیده

امروزه با وجود پیشرفت های زیاد در درمان سرطان، به دلیل ایجاد سلول های سرطانی مقاوم به دارو های ضدسرطانی موجود علاقه زیادی به توسعه دارو های ضدسرطانی با مکانیسم عمل جدید وجود دارد. مطالعات نشان داده که بعضی از این پپتید های ضد میکروبی کاتیونیک نسبت به سلول های باکتریایی سمی ولی نسبت به سلول های طبیعی پستانداران سمی نیستند و طیف وسیعی از فعالیت های سیتوتوکسیک نسبت به سلول های سرطانی نشان می دهند. پارداکسین پپتید تخریب کننده ی غشایی که به صورت اصلی در ماهی *Pardachirus marmoratus* وجود دارد. شبیه سازی دینامیک های مولکولی پپتید پارداکسین آشکار کرد که جهت گیری مارپیچ C ترمینال این پپتید به ترکیب غشا بستگی دارد. آن در سطح دولایه ای های لیپیدی تشکیل شده از پالمیتوئیل - الئویل - فسفاتیدیل کولین (POPC) و درون دولایه ای های لیپیدی متشکل از دی مرستوئیل - فسفاتیدیل کولین (DMPC) قرار می گیرد. پپتید برای تخریب و فروپاشی غشا در غشاهای POPC با مکانیسم فرش و در غشاهای DMPC با مکانیسم تشکیل منفذ استوانه ای عمل می کند. روی هم رفته این نتایج نشان می دهد که مکانیسم پارداکسین بستگی به ترکیب غشا دارد.

کلمات کلیدی: پپتید ضد میکروبی، دارو های ضدسرطانی، Pardaxin، شبیه سازی دینامیک های مولکولی

فصل اول:

مقدمه

آنتی‌بیوتیک‌ها داروهای ضدباکتریایی هستند که بدون آسیب به سلول میزبان یوکاریوتی مانع رشد یا زنده ماندن میکروب‌ها می‌شوند. کشت، توسعه و استفاده‌ی کلینیکی از آنتی‌بیوتیک‌ها از چشمگیرترین پیشرفت‌های پزشکی قرن بیستم است. اغلب آنتی‌بیوتیک‌ها، شامل پنیسیلین‌ها، سفالوسپورین‌ها، استروپتومایسین‌ها و ... در یک دوره‌ی زمانی نسبتاً کوتاه توسعه پیدا کرده‌اند. عمده‌ی داروهای ضد باکتریایی به یکی از سه طریق عمل می‌کنند: جلوگیری از بیوستز دیواره‌ی سلولی باکتری، جلوگیری از سنتز پروتئین‌های باکتری یا اختلال در همانندسازی و تعمیر DNA باکتری. در هر یک از این سه روش، آنتی‌بیوتیک‌ها به طور انتخابی از تفاوت‌های بیوشیمیایی بین سلول‌های پروکاریوتی و یوکاریوتی استفاده می‌کنند. آنتی‌بیوتیک‌های موثر از لحاظ کلینیکی پس از دوره‌ی چند ماهه یا چند ساله تمایل به ایجاد مقاومت در باکتری‌ها دارند. باکتری‌های مقاوم با سه نوع راهکار در مقابل آنتی‌بیوتیک‌ها مقاومت پیدا می‌کنند: پمپ آنتی‌بیوتیک‌ها به بیرون، تخریب مولکول آنتی‌بیوتیک و مخفی کردن ساختار هدف. با افزایش چشمگیر در تعداد باکتری‌های مقاوم به چند دارویی^۱ علاقه به توسعه‌ی آنتی‌بیوتیک‌های جدید برای درمان‌های انسانی افزایش پیدا کرده است. پپتیدهای ضد میکروبی بخش اصلی سیستم ایمنی ذاتی است که در اغلب موجودات زنده توسعه پیدا می‌کنند، به طوری که این پپتیدهای کوچک کاتیونی طیف وسیعی از فعالیت ضد میکروبی علیه باکتری‌های گرم مثبت و گرم منفی، قارچ‌ها، ویروس‌ها و پارازیت‌ها دارند. نحوه‌ی عملشان ممکن است با نفوذپذیر کردن غشاهای زیستی همراه باشد. پپتیدهای ضد میکروبی (AMPs)^۲ رده جدیدی از داروهای با پتانسیل آنتی‌بیوتیکی هستند. میانکنش این پپتیدها با غشاها ماهیت بیوفیزیکی دارد به طوری که احتمالاً باعث می‌شود ایجاد مقاومت علیه پپتیدهای ضد میکروبی مشکل باشد. به علاوه پپتیدهای ضد میکروبی خیلی سریع عمل می‌کنند و از این رو این پپتیدها کاندیدای مناسبی برای اهداف درمانی هستند [۱ و ۲].

¹ Multi-drug

² Antimicrobial Peptides

۱-۱- پپتیدهای ضد میکروبی

بسیاری از موجودات زنده می‌توانند پپتیدهای کوچک، کاتیونی و دوگانه دوست^۱ تولید کنند، که نقش‌های مهمی در مکانیسم دفاعی میزبان علیه باکتری‌های گرم مثبت و گرم منفی، قارچ‌ها، ویروس‌های پوشش دار و سلول‌های سرطانی ایفا می‌کنند. پپتیدهای ضد میکروبی در همه‌ی موجودات از مهره داران و گیاهان گرفته تا انسان یافت می‌شوند. از جمله‌ی این پپتیدها می‌توان به آلامتیسین^۲، سکروپین^۳، ماگاینین^۴، ملیتین^۵، ماکولاتین^۶، پروتگرین^۷، درماسپتین-ب^۸ و ... اشاره کرد [۳-۱۳].

۱-۱-۱- مکانیسم عمل پپتیدهای ضد میکروبی

عمده‌ی هدف پپتیدهای ضد میکروبی غشاهای سلولی است که یکپارچگی فیزیکی دولایه‌های لیپیدی را تخریب می‌کنند. پپتیدهای ضد میکروبی کوچک به سطح غشا متصل می‌شوند و زمانی که نسبت پپتید به لیپید از یک حد آستانه‌ی خاص بیشتر شد بسیاری از این پپتیدها منفذ تشکیل می‌دهند. منفذهای القا شده توسط این پپتیدها شیب الکتروشیمیایی عرض غشا را تخریب می‌کنند، در نتیجه باعث اسمولیز، تورم و در نهایت مرگ سلولی می‌شوند. چهار مرحله در فرآیند تشکیل منفذ^۹ تشخیص داده می‌شود [۱۲، ۱۳].

مرحله‌ی اول: اتصال به غشا

پپتیدها که در ابتدا به صورت تصادفی و بدون ساختار در محلول قرار دارند به سرعت به سمت غشا حرکت و به سطح غشا (سطح برخورد^{۱۰} آب و غشا) متصل شده و به صورت آلفا هلیکس‌های دوگانه دوست پیچ می‌خورند. به محض اتصال به غشا، پپتیدها می‌چرخند، چنان که زنجیره‌های جانبی پپتید در C- ترمینال با گروه

¹ Amphiphilic

² Alamethicin

³ Cecropin

⁴ Magainin

⁵ Melittin

⁶ Maculatin

⁷ Protegrin

⁸ Dermaceptin-B

⁹ Pore formation

¹⁰ Interface

های فسفات میانکنش داده و -N- ترمینال آبگریز^۱ پپتید هم با مرکز هیدروفوبیک غشا هم با پپتید پارداکسین دیگر میانکنش می دهد.

مرحله دوم: تجمع^۲

تشکیل منفذ فقط زمانی می تواند مشاهده شود که پپتیدهای بیشتری تجمع پیدا کنند. این تجمع در فاز آبی و یا پس از اینکه پپتیدها به مرز غشا رسیدند می تواند اتفاق بیفتد.

مرحله سوم: جاسازی^۳

پپتیدها پس از تجمع پیدا کردن، شروع به جاسازی عمیق تر درون غشا می کنند. به نظر می رسد یک فرآیند تعاونی^۴ در نتیجه ی میانکنش توده ی پپتید^۵ با گروه های سر لیپیدی^۶ باشد. ظاهرا میانکنش های الکترواستاتیک^۷ الکترواستاتیک^۷ در هدایت این فرآیند خیلی مهم است.

مرحله چهارم: تشکیل منفذ

مرحله ی نهایی زمانی اتفاق می افتد که یکی از پپتیدهایی که به طور عمیق جاسازی شده با سطح دیگر غشا در ارتباط باشد. یک منفذ آب تشکیل می شود و یک یا چند پپتید همراه با بعضی ملکول های لیپید در عرض غشا حرکت می کنند که باعث می شود نوعی از منفذ به نام Toroidal منفذ تشکیل شود.

بسته به نسبت پپتید به لیپید AMPs به سطح غشا متصل می شوند یا در نسبت های بالاتر داخل غشا می شوند، تشکیل منافذی را می دهند که غشا را دیونیزه می کند. از نظر ساختاری منافذ دو نوع هستند: در نوع استوانه ای (Barrel-stave Pores) پپتیدها در عرض غشا با یک ساختار بسیار منظم و در تماس مستقیم با یکدیگر طوری آرایش پیدا می کنند که یک منفذ آب استوانه ای تشکیل شود. در نوع حلقوی (Toroidal Pores) با حضور پپتیدها در عرض غشا آن ها طوری خم می شوند که گروه های سری نیم برگ بالایی و پایینی به هم متصل می - گردند. بدین ترتیب یک منفذ آب مرکزی به وسیله ی پپتیدها و گروه های سر لیپیدی آرایش پیدا می کند. در مکانیسمی دیگر این پپتیدها در یک حالت موازی با سطح سلول های میکروبی میانکنش می دهند و با تشکیل

¹ Hydrophobic

² Aggregation

³ Embedding

⁴ cooperative process

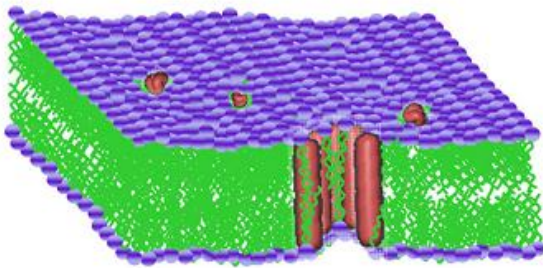
⁵ Peptide aggregate

⁶ lipid head-groups

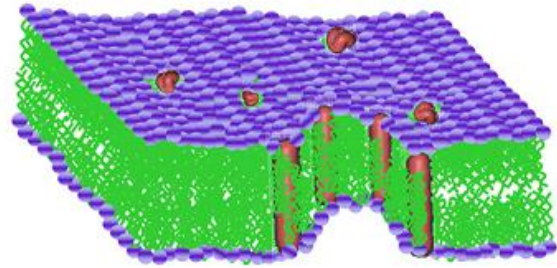
⁷ Electrostatic

یک فرش در سطح دولایه‌ای از هم پاشیدگی غشا را القا می‌کنند. مطابق با این مدل، که مدل فرش نامیده می‌شود، منافذی با اندازه‌ای بیش از ۱۰ نانومتر بر روی غشای باکتریایی ایجاد می‌شود. علاوه بر مدل فرش مدل شوینده نیز مکانیسم ضد میکروبی مشابهی را دارد که در آن AMPs فروریختگی عظیمی از یکپارچگی غشا را القا می‌کنند [۲، ۶، ۱۲ و ۱۴].

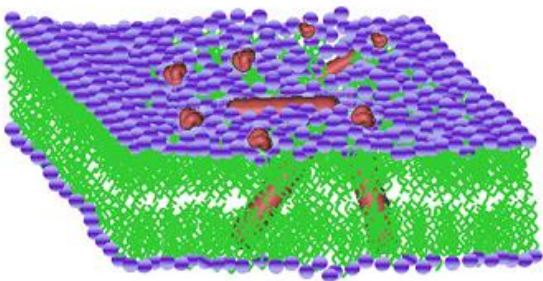
(a) Barrel-stave model



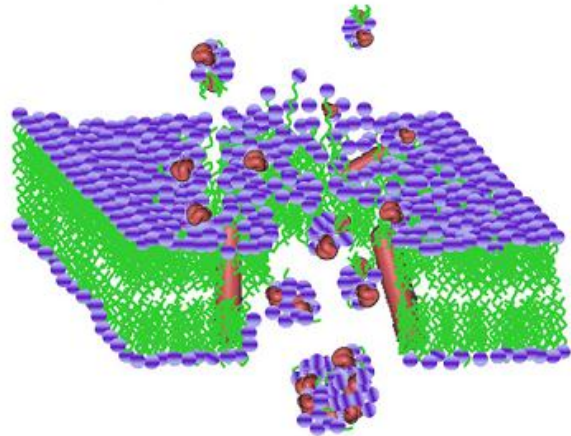
(b) Torroidal model



(c) Carpet model



(d) Detergent model



شکل ۱-۱ مدل‌های تخریب غشا با AMPs [۶].

۱-۱-۲- منشا انتخاب پذیری سلولی توسط پتیدهای ضد میکروبی

پتیدهای ضد میکروبی به طور انتخابی میکروارگانیسم‌ها را برای حفاظت میزبان مورد هدف قرار می‌دهند. مکانیسم عمل شان هنوز خوب شناخته شده نیست اما آن‌ها با لیپیدها میانکنش می‌دهند و تصور می‌شود اجزای لیپیدی غشای سلولی باکتریایی را هدف قرار می‌دهند که منجر به تخریب غشا می‌شود. اگرچه منشا انتخاب گری سلولی و مکانیسم عملشان هنوز خوب شناخته نشده است، اما تفاوت‌های میان ترکیب لیپیدی نیم برگ خارجی غشاهای پروکاریوتی و یوکاریوتی^۱ منجر به تفاوت در مستعد بودن سلول‌ها نسبت به AMPs می‌شود و حتی ممکن است نحوه‌ی عمل این پتیدها را تحت تاثیر قرار دهد. غشاهای پروکاریوتی که لیپیدهای آنیونیک دارند اغلب توسط پتیدهای ضد میکروبی کاتیونی مورد هدف قرار می‌گیرند. با این حال به نظر می‌رسد فاکتورهای دیگر در کنار الکتروستاتیک‌ها ایفای نقش می‌کند [۴ و ۲].

۱-۱-۳- تفاوت غشاهای پروکاریوتی و یوکاریوتی

در کل غشاهای دولایه‌ای زیستی از اجزای فسفولیپیدی همچون فسفاتیدیل کولین^۲ (PC)، فسفاتیدیل اتانول آمین^۳ (PE)، فسفاتیدیل سرین^۴ (PS)، فسفاتیدیل گلیسرول^۵ (PG) و اسفنگومیلین^۶ (SM) ساخته شده‌اند. به دلیل تفاوت در ویژگی‌های بیوشیمیایی شان در pH فیزیولوژیکی فقط فسفاتیدیل سرین و فسفاتیدیل گلیسرول بار منفی دارند در حالی که بقیه، گونه‌های خنثی^۷ را تشکیل می‌دهند [۶، ۴، ۲ و ۱۵]. غشاهای پلاسمایی در سلول‌های پستانداران و میکروبی هم از لحاظ ترکیب و هم ساختار باهم تفاوت دارند. در سلول‌های پستانداران نیم برگ خارجی غشا اغلب از اسفنگومیلین و فسفاتیدیل کولین ساخته شده، عامل منزوی کننده بار منفی اسفنگومیلین درون نیم برگ داخلی دولایه‌ی فسفولیپیدی می‌باشد. در مقابل اسفنگومیلین در لایه ی خارجی اغلب غشاهای پلاسمایی میکروبی زیاد یافت می‌شود و این غشاها همچنین شامل لیپید آنیونی

¹ Prokaryotic and Eukaryotic membranes

² Phosphatidyl Choline

³ Phosphatidyl Ethanolamine

⁴ Phosphatidyl Serine

⁵ Phosphatidyl Glycerol

⁶ Sphingomyelin

⁷ Zwitterionic

کاردیولپین^۱ و فسفولیپیدهایی با گروه سر آنیونی^۲ فسفاتیدیل گلیسرول و یا گروه سر خنثی^۳ فسفاتیدیل اتانول است. این به عنوان پایه‌ای برای انتخاب گری عوامل ضد میکروبی فعال کننده ی غشا^۴ به کار می‌رود. تحقیقات آزمایشگاهی نشان می‌دهد که پتیدهای ضد میکروبی اغلب اتصالات قوی با فسفاتیدیل اتانول و اتصالات خیلی قوی‌تری با لیپیدهای آنیونیک دارند اما میانکنش‌های ناچیزی با لیپیدهای فسفاتیدیل کولین دارند [۶].

۱-۱-۴- پتانسیل آنتی بیوتیکی پتیدهای ضد میکروبی

بعد از کشف پنی سیلین^۵ در ۱۹۲۸، آنتی بیوتیک‌ها نقش مهمی در زمینه ی مراقبت‌های بهداشتی و پزشکی ایفا می‌کنند. به دنبال این کشف، مواد بسیاری شناسایی شدند که با حمله به مسیرهای بیوستتزی میکروبی مانع بیماری‌زایی میکروب‌ها می‌شوند. با این حال جهش‌هایی که در میکروب‌ها رخ می‌دهد، معمولاً با تجمع ژن ژن‌های مقاوم به دارو درون پلاسمیدهایشان باعث مقاومت چند دارویی^۶ در باکتری‌ها می‌شود. با استفاده ی زیاد از این مواد، میکروب‌ها قادرند تا این ترکیبات را تغییر دهند که منجر به ظهور میکروب‌های مقاوم به چند دارویی^۸ شده و امروزه یک چالش^۹ جدید در درمان بیماری‌های واگیر دار است [۴، ۲، ۱۵]. واضح است که نیاز مبرمی به عوامل ضد میکروبی جدید وجود دارد که به آسانی مستعد مقاوم شدن نیستند. از آن جایی که پتیدهای ضد میکروبی غشاهای سلولی را به طور مستقیم مورد هدف قرار می‌دهند، بنابراین احتمال کمتری برای توسعه ی مقاومت‌های باکتریایی نسبت به آن‌ها وجود دارد، به همین دلیل این پتیدها به عنوان الگوهای برای ایجاد داروهای ضد باکتریایی جدید مورد توجه قرار گرفته‌اند. برای طراحی این داروها لازم است جزئیات ملکولی درگیر در روش‌های عمل پتیدهای ضد میکروبی طبیعی دانسته شود [۶].

¹ Cardiolipin

² Anionic headgroup

³ Zwitteronic headgroup

⁴ Membrane-active antimicrobials agent

⁵ Penicillin

⁶ Virulence

⁷ Multidrug

⁸ Multidrug resistant microbes

⁹ Challenge

۱-۱-۵- پتانسیل پپتیدهای ضد میکروبی در درمان سرطان

اگرچه داروهای شیمی درمانی نقش مهمی را در درمان بسیاری از سرطان‌ها ایفا می‌کنند، استفاده از این عوامل ضد سرطانی با عوارضی همراه است. از آن جایی که عوامل شیمی درمانی هم سلول‌های سالم در حال تقسیم و هم سلول‌هایی که به طور غیر عادی در حال تقسیم اند را مورد هدف قرار می‌دهد عوارض جانبی نیز دارند. در چند سال گذشته با توجه به پتانسیل درمانی پپتیدهای ضد میکروبی، مشخص شده این پپتیدها می‌توانند به عنوان یک گروه جدید از عوامل شیمی درمانی در جهت مبارزه با تومورهای مقاوم به دارو نقش امیدوار کننده ای را ایفا کنند [۱۶ و ۱۷].

تفاوت‌های اساسی بین غشای سلول‌های سرطانی و سالم دلیلی بر انتخابیت AMPs برای از بین بردن سلول‌های سرطانی می‌باشد. غشای پلاسمایی سلول‌های سرطانی از PS آنیونی و پروتئین‌های o-گلیکوزیده شده تشکیل شده اند. اعتقاد بر این است که میانکنش‌های الکترواستاتیک بین پپتیدهای ضد میکروبی و غشاهای دارای بار منفی فاکتور مهمی در انتخاب پذیری این پپتیدها نسبت به سلول‌های سرطانی باشد. AMPs بر روی غشاهای سلولی عمل می‌کنند، به طور ترجیحی به غشای سلولی متصل شده و اکثراً به وسیله‌ی نیروی الکترواستاتیک در داخل غشای سلولی جای می‌گیرند بعد به سرعت باعث قطع غشا و نشت محتویات داخل سلول و مرگ سلولی می‌شوند [۱۸].

۱-۲- پپتید ضد میکروبی طبیعی پارداکسین

پارداکسین‌ها عضوی از خانواده‌ی AMPs جدا شده از یک ماهی دریایی^۱ (*Pardachirus mormoratus*) به عنوان یک پلی‌پپتید نوروتوکسین^۲ دوگانه دوست از ۳۳ آمینواسید تشکیل شده است. آزمایشات NMR نشان می‌دهد که جهت‌گیری غشایی و میانکنش‌های این پپتید بستگی به ترکیبات لیپیدی در غشاهای دولایه‌ای دارد. پارداکسین، منافذ پایداری در وزیکول‌های لیپیدی خنثی^۳ تشکیل می‌دهد که باعث آزاد شدن محتویات وزیکولی وزیکولی بدون از دست دادن یکپارچگی آن‌ها می‌شود، این پپتید وزیکول‌ها را به طور موثری با تشکیل منفذ،

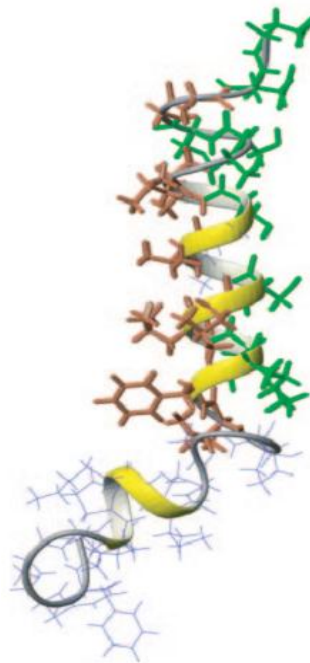
¹ Marine fish

² Neurotoxin

³ Zwitterionic lipid vesicles

۲-۱-۲-۱- ویژگی دوگانه دوستی

پپتیدهای ماریچ دوگانه دوست دارای بار مثبت گروه مهمی از پپتیدهای ضد میکروبی هستند. ساختار پارداکسین در شکل ۱-۴ نشان دهنده‌ی ماهیت دوگانه دوستی هلیکس C- ترمینال است. آزمایشات NMR حالت جامد^۱ نشان می‌دهد، بخش N- ترمینال این پپتید در فرآیند جاسازی و تجمع این پپتید درون غشاهای دولایه‌ای نقش داشته باشد. از سوی دیگر هلیکس C- ترمینال که به طور قابل ملاحظه‌ای دوگانه دوست است و شامل باقیمانده‌های ۱۷-۳۰ است، در تشکیل کانال‌های یونی نقش دارد. این هلیکس دوگانه دوست عرض غشا را طی می‌کند، که نقش آن در تشکیل کانال‌های یونی را اثبات می‌کند [۱۵ و ۱۸].



شکل ۱-۳ ساختار پارداکسین نشان دهنده‌ی باقیمانده‌های آبنگریز (ارغوانی) و باقیمانده‌های آبدوست (سبز) [۱۹].

¹ Solid-state Nuclear Magnetic Resonance

۱-۲-۲- ساختار دوم پپتید پارداکسین

طیف سنجی های NMR حالت جامد و دورنگ نمای دورانی (CD^۱) نشان می دهد که ساختار پارداکسین با تغییر pH و بنابراین پروتونه شدن پپتید تحت تاثیر قرار نمی گیرد، اما نسبت به وزیکول های لیپیدی و حلال های تقلیدی^۲ غشا خیلی حساس است [۱۵]. آزمایشات نشان داده که تمایل اتصال یا ثابت پیوستگی بین این پپتید و میسل های لیپیدی ساکاریدی^۳ در دماهای مختلف یکسان است [۲۱].

۱-۲-۲-۱- ساختار دوم پپتید پارداکسین در محیط آبی

طیف سنجی های CD نشان می دهد که پارداکسین کنفورماسیون هایی شبیه راندوم کویل در محلول های آبی دارد. این پپتید در محلول های آبی تجمع پیدا کرده و تترامرهایی را تشکیل می دهد. این پپتید اغلب در محلول های آبی در pH~۶/۵ نامحلول است، محلول های پپتیدی فقط در pH پایین تر (~۴/۵) آشکار می شود [۱۵، ۱۸ و ۱۹].

۱-۲-۲-۱- ساختار دوم پپتید پارداکسین در محیط غشایی

طیف سنجی های CD نشان می دهد که به محض افزودن مقداری تری فلور اتانل (TFE^۴) و غشاهای فسفولیپیدی این پپتید کنفورماسیون های مارپیچی^۵ اتخاذ می کند. مطالعات NMR نشان می دهد که در محلول های میسلی^۶ DPC، که پارداکسین تمایل بیشتری نسبت به این نوع از غشاهایی که شامل فسفاتیدیل کولین است نشان می دهد، دارای دو قطعه ای جداگانه است [۱۹، ۱۸، ۱۵ و ۲۲]. این دو قطعه شامل باقیمانده های ۱۶-۳۰ (~۴۵/ آنگستروم) و باقیمانده های ۱۲-۲ (~۲۲/ آنگستروم) می باشد. این نشان می دهد که باقیمانده ی پرولین در موقعیت ۱۳، ممکن است بین دو دمین کاملاً مشخص نقطه انعطاف پذیری را ایجاد کند. دومین ساختاری

¹ Circular Dichroism

² Mimetic

³ Lipopolysaccharide micelles

⁴ Trifluoroethanol

⁵ Helical

⁶ Sodium Dodecylphosphocholine